

# اصطناع بولي اتيلين - بيريدين - ٣,٤-ثنائي كربوكسيلات انطلاقا من ٣,٤ - حمض البيريدين ثنائي الكربوكسيل والإيتيلين غليكول ودراسة بعض خصائصه

## الملخص

تم اصطناع البولي استر انطلاقا من ٣,٤ - حمض البيريدين ثناeiي الكربوكسيل و الإيتيلين غликول، وذلك عند درجة الحرارة  $120^{\circ}\text{C}$  باستخدام حفازات مختلفة (حمض الكبريت-أوكسيد المغنيزيوم)، حيث تم تتبع سير التفاعل من خلال تتبع الرقم الحمضي خلال أزمنة متتالية ، ومن خلالها حسب معدل الوزن الجزيئي العددي والوزني كما حدثت درجة البلمرة، حيث تم الحصول على أعلى وزن جزيئي بوجود أوكسيد المغنيزيوم. تم توصيف البوليمر الناتج باستخدام مطيافية ما تحت الأحمر، ودرست بعض الخصائص الفيزيائية للبوليمر المحضر مثل درجة الحموضة والناقالية حيث تتمتع البوليمر الناتج بوجود أوكسيد المغنيزيوم بناقالية منخفضة، كما أجري المسح الحراري التفاضلي فكان البوليمر الناتج من حمض الكبريت غير متبلور في حين أن البوليمر الناتج من أوكسيد المغنيزيوم يملك مناطق متبلورة وأخرى غير متبلورة.

**الكلمات المفتاحية:** ٣,٤ - حمض البيريدين ثناeiي الكربوكسيل ، إيتيلين غликول، أوكسيد المغنيزيوم، الوزن الجزيئي، المسح الحراري التفاضلي.

# Synthesis of polyester from 3,4-pyridine dicarboxylic acid and ethylene glycol and studying some of its properties

## Abstract

Polyester was synthesized from pyridine 3,4-dicarboxylic acid and ethylene glycol at 120°C temperature using various catalysts (sulfur acid –magnesium oxide). The reaction was monitored by the acid value through different times. Then Degree of Polymerization, Number Average Molecular Weight and Weight Average Molecular Weight have been calculated. The highest molecular weight was obtained with magnesium oxide. The polymer was characterized using infrared spectrometry, some physical properties of the polymer such as pH and Electrical conductivity were studied. The polymer which prepared with magnesium oxide had low conductivity, also differential scanning calorimetry was carried out, polymer was prepared by sulfuric acid was amorphous, while polymer which prepared by magnesium oxide had crystallized and amorphous areas.

**Key Words:** 3,4-pyridine dicarboxylic acid, ethylene glycol, magnesium oxide, Molecular Weight, differential thermal scanning.

## ١. المقدمة (Introduction) :

مع زيادة الاهتمام بالبيئة أصبح من الضروري إيجاد طريقة لإنتاج بوليمرات مستدامة صديقة للبيئة ذات خواص مطلوبة للكثير من التطبيقات ومن أهمها البوليمرات القابلة للتحلل الحيوي مثل البولي استرات [١]، والتي طورت لتصبح واحدة من أكثر أنظمة البوليمرات الحرارية المستخدمة في صناعة البلاستيك المقوى والألياف بسبب خصائصها الميكانيكية الجيدة [٢]، وتكلفتها المنخفضة [٣]، و مقاومتها الجيدة للتآكل [٤] ، كما أنها تتمتع بمتانة عالية وتشوه منخفض [٥]. حضرت العديد من البولي إسترات بالأسترة التبادلية بين مركبات ثنائية الإستر مع الديولات من خلال الصهر عند درجات حرارة مرتفعة فوق  $200^{\circ}\text{C}$  [٦]، لذا حاول العديد من الباحثين تحضير البولي إسترات ضمن شروط معتدلة من خلال استخدام مونوميرات ثنائية الحمض الكربوكسيلية حيث تم تنشيطها إلى ثنائي كلوريد الحمض وفاعليتها مع الديولات ولكنها لم تعطي نتائج مرضية بسبب النكليوفيلية الضعيفة للهيدروكسيل [٧]، كما استخدمت الأسترة المباشرة لتحضير البولي إستر من خلال تكافيف المركبات ثنائية الحمض الكربوكسيلية مع الديولات ضمن شروط معتدلة بوجود حفازات مختلفة ، حيث تم الحصول على أعلى وزن جزيئي للبولي إستر من خلال أسترة البيس فينول مع مزيج من حمض ايزوفتاليك وحمض تيري فتاليك أسيد عند درجة حرارة  $80^{\circ}\text{C}$  بوجود كلوريد الثيونيل [٨]، كما تم اصطناع بولي إسترات البفاتية و عطرية باستخدام ٤،٢-حمض البيريدين ثائي الكربوكسيل مع بولي إيتيلين غликول ٤٠٠ بوجود كلوريد البيكرييل و البيريدين تحت ظروف معتدلة (درجة حرارة و ضغط جوي) [٩] لكن أبدت البولي إسترات العطرية الناتجة من تكافيف بيس فينول ٥،٢ - ثائي كربوكسيل أساسها ٢،٦ حمض البيريدين ثائي الكربوكسيل مع خمس ديوارات مختلفة و تم تعقيد الناتج مع النحاس و الفضة و الاستفادة منه كمواد مقاومة للأعشية الحيوية [١٠]، كما استخدم ٢-٥ حمض فوران ثائي الكربوكسيل مع الإيتيلين غликول بوجود ايزوبروبوكسيد التيتانيوم  $\text{Ti(OiPr)}_4$  حيث تم الحصول على بوليمرات متجانسة بوزن جزيئي عالي وثباتية حرارية مرتفعة [١١] .

## ٢. هدف البحث وأهميته (Research Aim and Importance)

يهدف هذا البحث إلى اصطناع بولي أستر من خلال تكثيف <sup>٣،٤</sup> - حمض البيريدين ثانوي الكريوكسيل والإيتلين غليكول بوجود حفازات مختلفة (حمض الكبريت-أوكسيد المغزبوم) و محلات مختلفة من أجل إيجاد الشروط المناسبة للتفاعل والحصول على بوليمر ذو وزن جزيئي عالٍ وثباتية حرارية عالية.

## ٣. القسم التجاري :

### ١- الأجهزة والأدوات المستخدمة :

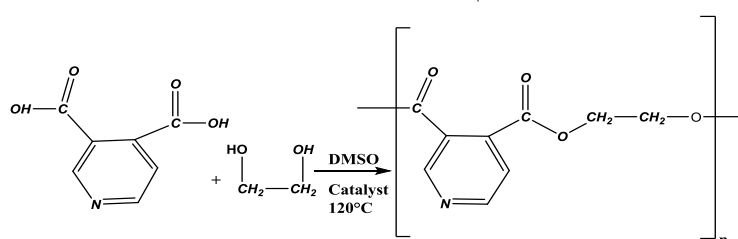
- ١- ميزان تحليلي حساس بدقة تصل إلى (0.0001gr).
- ٢- ميزان حرارة لمراقبة درجة حرارة التفاعل.
- ٣- سخانة مزودة بمحرك مغناطيسي.
- ٤- فرن تجفيف كهربائي.
- ٥- مضخة مائية موصولة بمكثف عكوس.
- ٦- اسطوانة ازوت موصولة بانبوب مباشرة إلى الحوجلة
- ٧- جهاز طيف الأشعة ما تحت الأحمر نموذج (IR Affinity-1S) من شركة SHIMADZU (اليابانية).
- ٨- جهاز قياس pH من شركة Sartorius.
- ٩- جهاز قياس الناقلية الكهربائية نموذج (cond 7110) من شركة InoLab.
- ١٠- جهاز المسح الحراري التقاضلي مخبر الهندسة البيئية - كلية الهندسة المدنية جامعة البعث.
- ١١- ورق ترشيح من شركة (Macherey-Nagel / Germany) ذو مسامات (0.45 μm)، (Syringe Filter)، (110 mm)
- ١٢- زجاجيات مختلفة (قمع فصل - حوجلة ثلاثية المأخذ سعة 250mL - أرلينة - سحاحة - بيسر)

**2-3. المواد الكيميائية المستخدمة :**

- ٣،٤ - حمض البيريدين ثائي الكربوكسيل من شركة Merck نقاؤة %٩٩ .
- الإيتيلين غليكول Carlo Erba نقاؤة %٩٩ .
- دي ميتيل سلفوكسيد من شركة LOBA نقاؤة %٩٩ .
- دي إيتيل الإيتير من شركة LOBA نقاؤة %٩٩ .
- محلول حمض الكبريت المحضر مخبريا بتركيز N ١ ،٠ من العبوة الأساسية شركة ألفا نقاؤة %٩٨ .
- أوكسيد المغذنيوم MgO من إنتاج شركة Merck .

**4. القسم العملي :****1-4. اصطناع بولي اتيلين - بيريدين - ٣،٤ - ثائي كربوكسيلت:**

يوضع في حوجلة ثلاثة الفتحات موصولة بمبرد عكوس و بمضخة آزوت و منظم حراري (0.1 mol) من الحمض و يضاف المذيب تدريجياً مع رفع درجة الحرارة حتى الوصول إلى الدرجة 120°C والانحلال التام للحمض، ثم يتم إضافة الحفاز بتركيز 10% وزناً من الحمض، ثم يضاف (0.1 mol) من الإيتيلين غليكول بشكل تدريجي و يتم سحب الماء بدفعه مع فقاعات الآزوت وتجميعه في المكان المخصص وذلك لضمان سير التفاعل في الاتجاه المباشر نحو (تشكل البولي استر)، تُسحب عينات من مزيج التفاعل خلال أزمنة متالية وذلك لتحديد الرقم الحمضي، بعد انتهاء التفاعل يتم التخلص من المذيب بالتبييض و الحصول على البوليمر على شكل بودرة لونها أصفر تتم تقيتها بغسلها باستخدام دي إيتيل إيتير للتخلص من فائض الإيتيلين غликول و تم التفاعل وفق المعادلة الآتية:



#### ٤-٢. حساب الرقم الحمضي:

تم حساب قيمة الرقم الحمضي ( $A_v$ ) من خلال معايرة القطفات بمحلول من KOH بتركيز (N 0.1) وسجل حجم KOH اللازم لظهور اللون الوردي في العينة وطبق القانون الآتي: [١٢]

$$A_v = \frac{(V_2 - V_1)(0.056)(1000)}{W}$$

حيث أن:

$m$ : العدد الحمضي مقدراً  $A_v$  mg KOH/g polymer

$V_2$ : حجم محلول KOH اللازم لمعايرة العينة مقدراً بـ (ml)

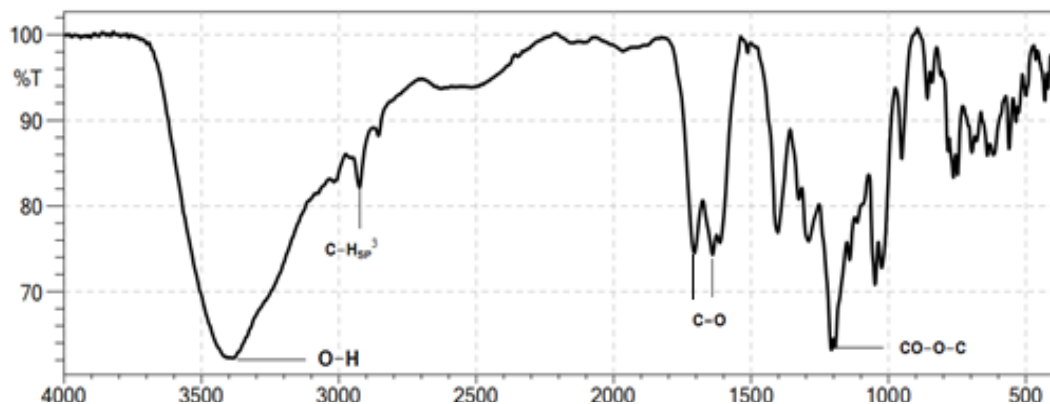
$V_1$ : حجم محلول KOH اللازم لمعايرة الشاهد مقدراً بـ (ml)

$W$ : وزن العينة المأخوذة مقدراً بـ (gr)

#### ٥. النتائج والمناقشة:

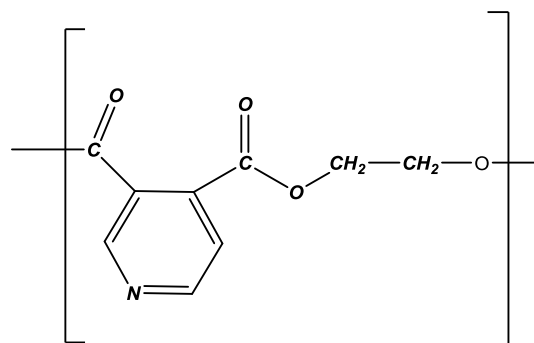
أولاً: توصيف البولي استر بمطيافية الأشعة تحت الحمراء:

يوضح الشكل (1) طيف ما تحت المركب للبولي اتيلين - بيريدين - ٤،٣ - ثائي كريوكسيلات المحضر. ويبين الجدول ١ أهم قيم عصابات الامتصاص للبوليمير المتشكل.



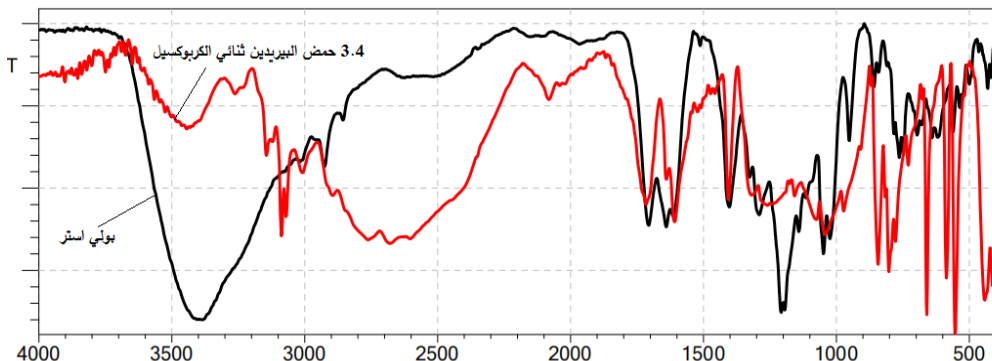
الشكل ١: طيف الأشعة تحت الحمراء بولي اتيلين - بيريدين - ٤،٣ - ثائي كريوكسيلات

جدول ١: أهم قيم الامتصاصات في مطيافية ما تحت الأحمر بولي اتيلين - بيريدين - ٤،٣ - ثائي كريوكسيلات



الامتصاط الموافق $\text{Cm}^{-1}$	المجموعة الوظيفية			
CO-O-C Stretch	C=O Stretch	C-H $\text{SP}^3$	O-H Stretch	
1207	1705	2895	3406	

بيان الشكل 2 طيف ماتحت الأحمر بولي اتيلين - بيريدين - ٣،٤ - ثانوي كربوكسيلت مع حمض ٣،٤ بيريدين ثانوي الكربوكسيل نلاحظ انزياح عصابة الإمتصاص العائدة لمجموعة الكربونيل في بولي استر نحو الأعداد الموجية الأقل 1705Cm<sup>-1</sup> مقارنةً مع الحمض 1730Cm<sup>-1</sup> وظهور عصابة الإمتصاص عند 1250cm<sup>-1</sup> عائدة لمجموعة الستر (CO-O-C) العريضة من الأعلى الموجودة في البولي استر.



الشكل ٢: طيف تحت الأحمر لكل من 3.4 حمض البيريدين ثانوي الكربوكسيل وبولي اتيلين - بيريدين - ٣،٤ - ثانوي كربوكسيلت

**ثانياً: تعين الوزن الجزيئي العددي والوزني بولي اتيلين - بيريدين - ٣،٤ - ثانوي كربوكسيلت:**

بدايةً حُسبت قيم درجة التحول انطلاقاً من قيم العدد الحمضي خلال أزمنة متتالية حتى ملاحظة ثبات قيمة العدد الحمضي وفق العلاقة [١٣]:

$$P = \frac{A_{v_0} - A_v}{A_{v_0}} \times 100$$

حيث أن:

$A_{v_0}$ : العدد الحمضي قبل إجراء التفاعل عند اللحظة  $t_0$

$A_v$ : العدد الحمضي عند اللحظة  $t$

ومنه تم حساب معدل الوزن الجزيئي العددي وفق العلاقة:

$$M_n = x_n \times M_0 = \frac{M_0}{(1-p)}$$

حيث أن:

P: درجة التحول.

$M_0$ : الوزن الجزيئي للمونومر.

وحسب معدل الوزن الجزيئي الوزني وفق العلاقة [13]:

$$M_w = x_w \times M_0 = \frac{(1+p)}{(1-p)} \times M_0$$

وتحسبت درجة البلمرة من العلاقة:

$$x_n = \frac{M_n}{M_0} = \frac{1}{(1-p)}$$

وُجِّمِعَت النتائج في الجدول 2 للبولي إستر المتشكل بوجود أوكسيد المغنيزيوم، والجدول 3 النتائج للبولي إستر المتشكل بوجود حمض الكبريت.

جدول ٢: قيم العدد الحمضي و درجة التحول و معدل الوزن الجزيئي العددي و الوزني و درجة البلمرة مع الزمن للبوليمر المحضر باستخدام حفاز أوكسيد المغنيزيوم

$T(h)$	$A_v$	$M_n$	$M_w$	$p$	$n$
0	560	229.16	229.16	.	1
٢	٤٠٠	٣٢٠,٨٢	٤١٢,٤٨	٠,٢٨٥٧١	١,٣٩٩
٣	٣٤١,٤٦	٣٧٥,٨٢	٥٢٢,٤٩	٠,٣٩٠٢٥	١,٧٤٠٠
٤	276	464.95	700.75	0.50714	2.028
4:30	243.47	527.08	825.00	0.56523	2.300
5	211.24	607.49	985.83	0.62278	2.650
5:30	178.62	718.43	1207.71	0.68103	3.1350
6	143.71	892.97	1556.79	0.743375	3.896

**اصطناع بولي اتيلين - بيريدين - ٣، ٤- ثانوي كربوكسيلات انطلاقا من ٣، ٤ - حمض البيريدين ثانوي الكربوكسيل والإيتلين غليوكول ودراسة بعض خصائصه**

---

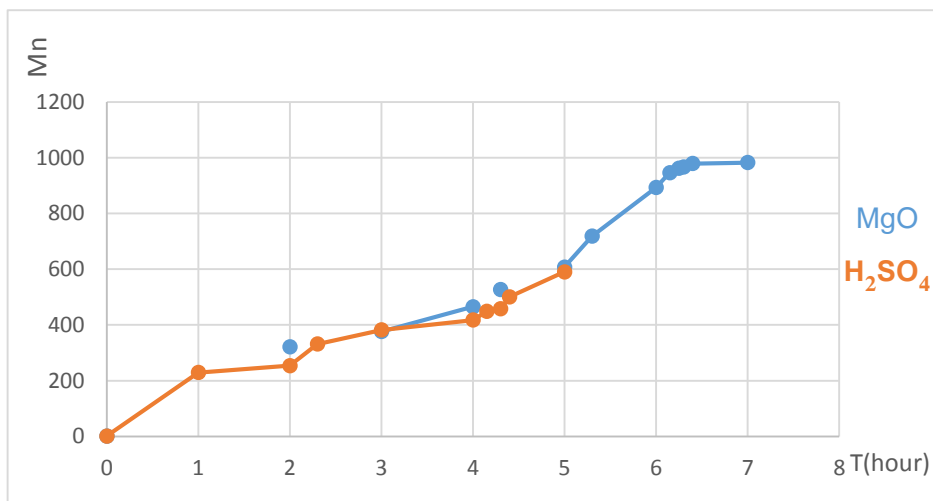
<i>6:15</i>	<i>135.59</i>	<i>946.43</i>	<i>1663.70</i>	<i>0.75787</i>	<i>4.129</i>
<i>6:25</i>	<i>133.33</i>	<i>962.49</i>	<i>1695.82</i>	<i>0.761910</i>	<i>4.200</i>
<i>6:30</i>	<i>١٣٢,٧٨</i>	<i>٩٦٦,٤٧</i>	<i>١٧٠٣,٧٨</i>	<i>0.76289</i>	<i>٤,٢١٧</i>
<i>٦:٤٠</i>	<i>١٣١,٠٨</i>	<i>٩٧٨.٨٩</i>	<i>١٧٢٨,٦٣</i>	<i>0.7659</i>	<i>4.2710</i>
<i>٧</i>	<i>130.66</i>	<i>982.61</i>	<i>1736.06</i>	<i>0.766785</i>	<i>4.2859</i>

جدول ٣ : قيم درجة التحول و معدل الوزن الجزيئي العددي و الوزني و درجة البلمرة مع الزمن للبوليمر المحضر باستخدام حفاز حمض الكبريت

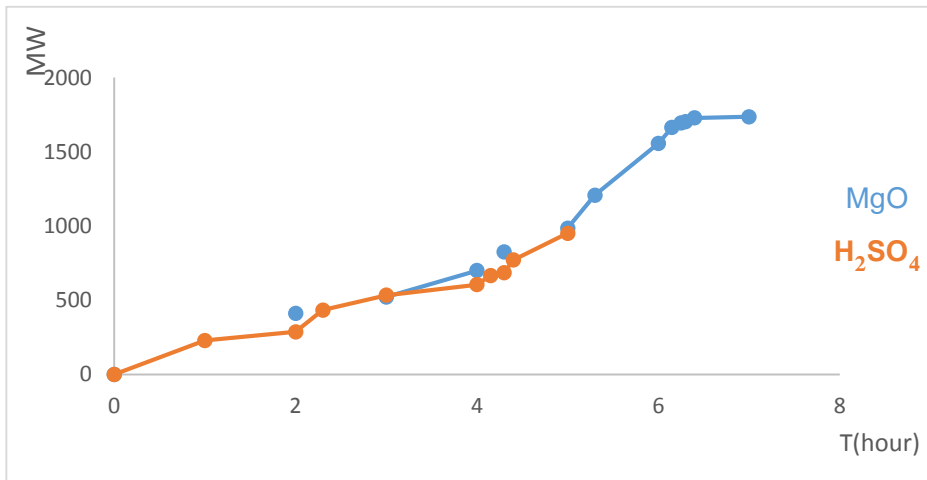
<i>T(h)</i>	<i>A<sub>v</sub></i>	<i>M<sub>n</sub></i>	<i>M<sub>w</sub></i>	<i>p</i>	<i>n</i>
<i>0</i>	<i>625</i>	<i>229.16</i>	<i>229.16</i>	<i>0</i>	<i>1</i>
<i>١</i>	<i>٥٧٣,٩٠</i>	<i>٢٥٣,٩٩</i>	<i>٢٨٧,٨٢</i>	<i>٠,٠٩٧٧٦</i>	<i>١,١٠٨</i>
<i>٢</i>	<i>432</i>	<i>331.53</i>	<i>433.91</i>	<i>0.3088</i>	<i>1.446</i>
<i>2:30</i>	<i>375.11</i>	<i>381.80</i>	<i>534.45</i>	<i>0.3998</i>	<i>1.666</i>
<i>٣</i>	<i>343.22</i>	<i>417.26</i>	<i>605.36</i>	<i>0.4508</i>	<i>1.820</i>
<i>3:30</i>	<i>319.56</i>	<i>448.19</i>	<i>667.22</i>	<i>0.4887</i>	<i>1.955</i>
<i>٤</i>	<i>313.15</i>	<i>457.36</i>	<i>685.57</i>	<i>0.49896</i>	<i>1.995</i>
<i>4:15</i>	<i>286.22</i>	<i>500.4</i>	<i>771.53</i>	<i>0.5420</i>	<i>2.1836</i>
<i>4:30</i>	<i>242.66</i>	<i>590.16</i>	<i>951.16</i>	<i>0.6117</i>	<i>2.5753</i>
<i>4:40</i>	<i>241.97</i>	<i>591.83</i>	<i>954.51</i>	<i>0.6128</i>	<i>2.582</i>
<i>٥</i>	<i>٢٤١,٥٥</i>	<i>592.91</i>	<i>٩٥٧,٧٧</i>	<i>٠,٧١٣٥</i>	<i>2.587</i>

وبمقارنة النتائج في الجدولين ٢ و ٣ نجد أنه حصلنا على أعلى نسبة تحول ووصلت إلى ٧٦% بعد ٧ سبع ساعات بوجود أوكسيد المغنيزيوم مع درجة بلمرة وزن جزيئي عددي وزن جزيئي أعلى، في حين أظهرت النتائج أن استخدام حمض الكبريت وصل التفاعل إلى حالة التوازن بعد خمس ساعات مع نسبة تحول ٦١% ودرجة بلمرة وزن جزيئي عددي أقل منه في حال استخدام أوكسيد المغنيزيوم وهذا يُعزى إلى الآلية التي يعمل بها أوكسيد المغنيزيوم كحفاز ودوره في تقطيب الرابطة.

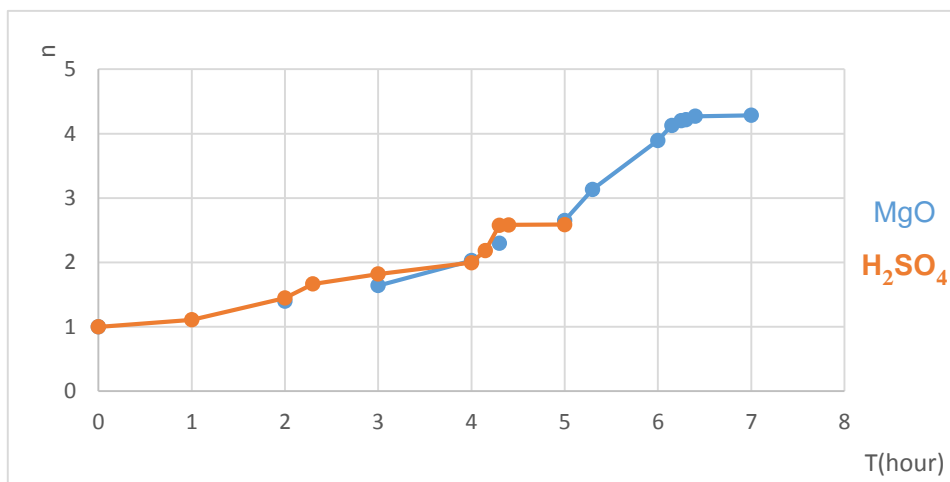
رُسمت العلاقة بين كل من معدل الوزن الجزيئي العددي والوزني ودرجة البلمرة مع الزمن فوجد أن القيم متقاربة بالنسبة للحفازين المستخدمين خلال خمس ساعات، فعند استخدام حمض الكبريت كحفاز لوحظ ثبات قيم التحول بعد أربع ساعات، إلا أن أوكسيد المغnezيوم أبدى كفاءة عالية في الحصول على درجة بلمرة ومعدل وزن جزيئي أعلى خلال زمن أكبر ولوحظ ثبات القيم بعد ست ساعات تقريباً وهذا ما توضّحه الأشكال ٣,٤,٥.



الشكل ٣: تحولات قيم معدل الوزن الجزيئي العددي مع الزمن بولي اتيلين - بيريدين - ٣،٤ - ثائي كربوكسيلات



الشكل ٥: تحولات قيم معدل الوزن الجزيئي الوزني مع الزمن بولي اتيلين - بيريدين -<sub>3</sub>،<sub>4</sub>- ثانوي كربوكسيلات



الشكل ٤: تحولات قيم معدل درجة البلمرة مع الزمن بولي اتيلين - بيريدين -<sub>3</sub>،<sub>4</sub>- ثانوي كربوكسيلات

**ثالثاً: قياس بعض الخصائص الفيزيائية بولي اتيلين - بيريدين -<sub>3</sub>،<sub>4</sub>- ثانوي كربوكسيلات:**

قيس درجة الحموضة والناقلية الكهربائية لبولي إيتيلين <sub>3</sub>،<sub>4</sub> بيريدين كربوكسيلات المحضر بوجود حمض الكبريت والمحضر بوجود أوكسيد المغنيزيوم، أظهرت النتائج

أن البوليمير المحضر بوجود حمض الكبريت تتمتع بدرجة حموضة مرتفعة وناقلية أعلى وبُعْزى ذلك إلى طبيعة الحفاز، حيث يلعب أوكسيد المغنيزيوم دور مادة مائة ضمن البوليمير الأمر الذي يؤدي إلى إعاقة حركة الشوارد وانخفاض قيمة الناقلية وهذا ما يوضحه الجدول ٤.

جدول ٤ : قيم درجة الحموضة والناقلية الكهربائية بولي اتيلين - بيريدين - ٣،٤ - ثاني كربوكسيلات

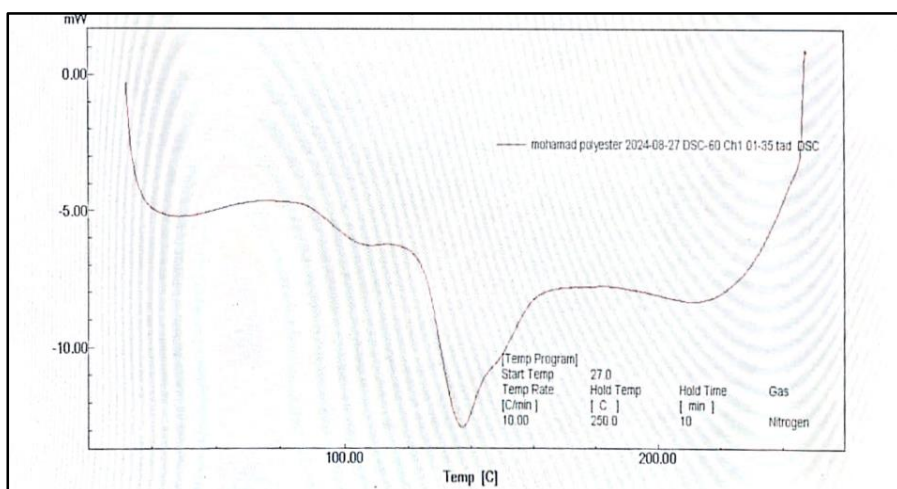
البوليمير المحضر باستخدم حفاز:	درجة الحموضة	الناقلية الكهربائية ( $\mu\text{s}/\text{cm}$ )
أوكسيد المغنيزيوم	٣,٧	٢٣٧
حمض الكبريت	١,٨	١٢٢٠

#### رابعاً : المسح الحراري التفاضلي لبولي اتيلين - بيريدين - ٣،٤ - ثاني كربوكسيلات:

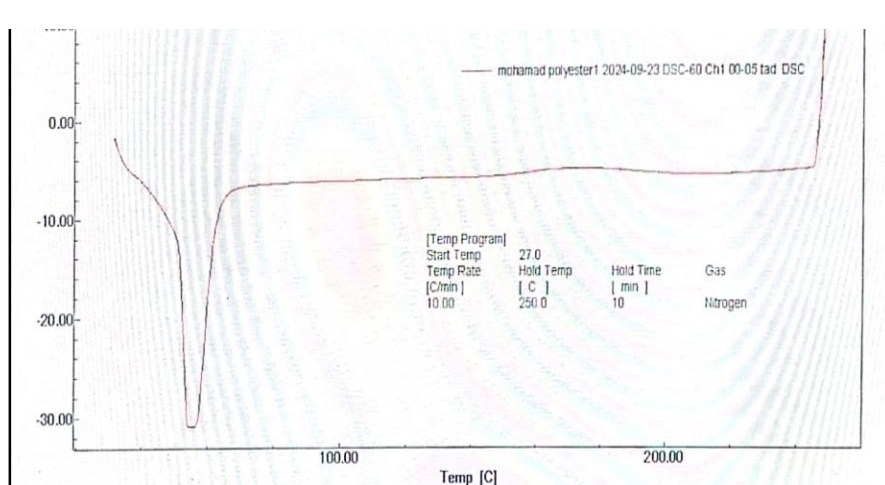
سجل منحني المسح الحراري التفاضلي لبولي اتيلين - بيريدين - ٣،٤ - ثاني كربوكسيلات وذلك بتطبيق مجال درجات حرارة [20-250°C] خلال عشر دقائق في جو خامل من الأزوت، وذلك لقياس المحتوى الحراري الممتص أو المنبعث من العينة خلال التحولات الطورية. فمن أجل البوليمير المحضر باستخدام أوكسيد المغنيزيوم كحفاز لوحظ قمة ماصة للحرارة عند القيمة 115°C عائدة لحالة الانتقال الزجاجي  $T_g$  وهي عائدة لتحول البوليمير من الحالة الصلبة إلى الحالة المرنة، ووجود قمة حادة ماصة للحرارة عند القيمة 145°C تدل على درجة انصهار البوليمير وتحوله من الحالة الصلبة إلى الحالة السائلة. وهذا ما يوضحه الشكل رقم ٦. في حين أظهر المسح الحراري التفاضلي لبولي اتيلين - بيريدين - ٣،٤ - ثاني كربوكسيلات

اصطناع بولي اتيلين - بيريدين -<sub>3</sub>-،<sub>4</sub>- ثانوي كربوكسيلات انطلاقا من<sub>3</sub>-،<sub>4</sub>- حمض البيريدين ثانوي الكربوكسيل والإيتلين غليوكول دراسة بعض خصائصه

المحضر باستخدام حمض الكبريت قمة وحيدة ماصة للحرارة عند درجة الحرارة 57°C وهي عائدة لحالة الانتقال الزجاجي وهذا ما يوضحه الشكل رقم 7. وبالمقارنة بين المحنينين نجد أن البولي إستر المحضر بوجود أوكسيد المغنيزيوم يحتوي على مناطق غير متبلورة لظهور قمة الانتقال الزجاجي ومناطق متبلورة وذلك لوجود قمة الانصهار، في حين البولي إستر المحضر بوجود حمض الكبريت هو عبارة عن بوليمر غير متبلور ولا يحتوي مناطق متبلورة لعدم وجود قمة لدرجة الانصهار.



الشكل ٦: المسح الحراري التناضلي لبولي اتيلين - بيريدين -<sub>3</sub>-،<sub>4</sub>- ثانوي كربوكسيلات المحضر بحفاز أوكسيد المغنيزيوم



الشكل ٧: المسح الحراري التناضلي لبولي اتيلين - بيريدين -<sub>3</sub>-،<sub>4</sub>- ثانوي كربوكسيلات المحضر بحفاز حمض الكبريت

٦. الاستنتاجات:

١. تم اصطناع بولي اتيلين - بيريدين -٣،٤- ثبائي كربوكسيليت باستخدام حفازات متجانسة وغير متجانسة.
٢. البوليمير المحضر باستخدام حفاز أوكسيد المغنتزيوم أعطى وزن جزيئي عددي وزنی ودرجة بلمرة أعلى من البوليمير المحضر باستخدام حفاز حمض الكبريت.
٣. أبدى البوليمير المحضر بوجود أوكسيد المغنتزيوم ناقلية كهربائية أقل من البوليمير المحضر بوجود حمض الكبريت.
٤. توضح منحنيات المسح الحراري التناضلي أن البوليمير المحضر بحفاز أوكسيد المغنتزيوم يملك مناطق متبلورة وأخرى غير متبلورة في حين البوليمير المحضر بحفاز حمض الكبريت يملك بنية غير متبلورة فقط.

## 7. المراجع

- 1- Skrifvars M, Dhakal H, Zhang Z, Gentilcore J, Åkesson D. Study on the mechanical properties of unsaturated polyester sandwich biocomposites composed of uniaxial warp-knitted and non-woven viscose fabrics. Composites Part A: Applied Science and Manufacturing. 2019 Jun 1;121:196-206.
- 2- Janković B. The kinetic analysis of isothermal curing reaction of an unsaturated polyester resin: Estimation of the density distribution function of the apparent activation energy. Chemical Engineering Journal. 2010 Aug 1;162(1):331-40.
- 3- PROROKOVA, N. P.; KUMEEVA, T. Yu; VAVILOVA, S. Y. Improving the wettability of polyester fabric with using direct fluorination. Journal of Fluorine Chemistry, 2019, 219: 115-122.
- 4- PARK, Hyung-seok, et al. Synthesis of elastic biodegradable polyesters of ethylene glycol and butylene glycol from sebacic acid. *Acta Biomaterialia*, 2012, 8.8: 2911-2918.
- 5 - Gawdzik B, Matynia T, Osypiuk J. Influence of TDI concentration on the properties of unsaturated polyester resins. Journal of applied polymer science. 2001 Feb 14;79(7):1201-6.
- 6 -Kibler CJ, Bell A, Smith JG. Polyesters of 1, 4-cyclohexanedimethanol. Journal of Polymer Science Part A: General Papers. 1964 May;2(5):2115-25.
- 7- Ignatova M, Manolova N, Rashkov I, Sepulchre M, Spassky N. Preparation, properties and complex formation ability of poly (ether-ester)s of poly (ethylene glycol)s and 2, 6- pyridinedicarboxylic acid. Macromolecular Chemistry and Physics. 1995 Aug;196(8):2695-708.
- 8- Higashi F, Mashimo T, Takahashi I. Preparation of aromatic polyesters by direct polycondensation with thionyl chloride in pyridine.

Journal of Polymer Science Part A: Polymer Chemistry. 1986 Jan;24(1):97-102.

9- Doan NT, Montembault V, Soutif JC. Direct Polyesterification of Pyridine-2, 6-Dicarboxylic Acid and Poly (ethylene glycol) using Picryl Chloride as Condensing Agent. e-Polymers. 2006 Dec 1;6(1):052.

10 - Saleh S, Sweileh B, Taha SO, Mahmoud R, Taha MO. Preparation of polyester-based metal-cross linked polymeric composites as novel materials resistant to bacterial adhesion and biofilm formation. Molecules. 2011 Jan 21;16(1):933-50.

11 -Thiyagarajan S, Meijlink MA, Bourdet A, Vogelzang W, Knoop RJ, Esposito A, Dargent E, Van Es DS, Van Haveren J. Synthesis and thermal properties of bio-based copolyesters from the mixtures of 2, 5-and 2, 4-furandicarboxylic acid with different diols. ACS sustainable chemistry & engineering. 2019 Oct 21;7(22):18505-16.

12- J. M. Marchetti and A. F. Errazu, "Esterification of free fatty acids using sulfuric acid as catalyst in the presence of triglycerides," Biomass Bioenergy, vol. 32, no. 9, pp. 892–895, Sep. 2008, doi: 10.1016/j.biombioe.2008.01.001.

13-Mohammad H, Almahna N, Falah A. Kinetics of reaction of hydrogenated dimer fatty acid C36 with 2, 7 diamino fluorene and determination of thermodynamic constants. Physical Sciences Research International. 2013 Sep 19;1(3):76-88.

